

ИССЛЕДОВАНИЕ РАБОТЫ ПЛАЗМАТРОНА С ВОЗДУШНОЙ  
СТАБИЛИЗАЦИЕЙ ДУГИ

Г. Ю. Даутов, М. Ф. Жуков, Б. Я. Смоляков

(Новосибирск)

В последние годы много уделяется внимания исследованию горения электрической дуги в специальных устройствах, именуемых плазматронами. Цель этих исследований — изучить особенности работы дугового разряда, стабилизированного газом или водой, с тем, чтобы обеспечить нагрев рабочего тела до высоких температур ( $5000-12000^{\circ}\text{K}$ ) при минимальном загрязнении потока газа продуктами разрушения электродов и корпуса камеры горения, связанными с воздействием дугового разряда, и добиться непрерывной работы плазматрона на протяжении достаточно длительного времени, в особенности в окислительной среде, например в воздухе.

Представляет также интерес выяснение путей эффективного использования мощности источника, что тесно связано с выбором внешней характеристики источника питания дуги и его напряжения и определением условий устойчивости горения электрической дуги. Выяснение этих факторов позволяет найти границы области устойчивого горения дуги при заданных параметрах внешнего контура и источника энергии. Здесь целесообразно использовать известный метод анализа условий устойчивости горения электрической дуги постоянного тока [1, 2], учитя особенности конкретной задачи.

Ниже приводятся некоторые результаты исследований по затронутым вопросам.

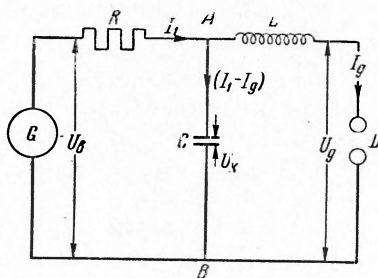
**1. Устойчивость горения дуги.** Одним из методов исследования электрических процессов в газах является метод вольт-амперных характеристик. Зависимость  $U_g = f(I_g)$ , где  $U_g$  — падение напряжения на дуге, а  $I_g$  — сила тока в цепи, называется вольт-амперной характеристикой дуги.

Вид функции  $U_g = f(I_g)$  зависит от многих факторов и, в частности, от величины расхода газа через камеру горения и давления, от формы и материала электродов и от других факторов. Функция  $f(I_g)$  для дугового разряда нелинейна и падающая. Принципиальная схема питания электрической дуги приведена на фиг. 1. Она является наиболее распространенной и в то же время простейшей для исследования процесса устойчивости горения дугового разряда при малых возмущениях. Такая цепь содержит источник питания  $G$ , омическое сосредоточенное сопротивление  $R$ , индуктивность  $L$  и емкость  $C$ , а также дуговой промежуток  $D$ . Рассматриваемая схема аналогична с электрической схемой дугового генератора [2]; отличие заключается в том, что напряжение источника питания зависит от силы тока, т. е.  $U_b = \varphi(I_g)$ .

При совместной работе внешней цепи с электрической дугой должно выполняться равенство

$$f(I_g) = \varphi(I_g) \quad (1)$$

Уравнение (1) имеет в общем случае два решения: одно из них определяет область устойчивого горения дуги, другое — неустойчивого. Предельный случай, когда два решения сливаются в одно, определяет границу, отделяющую участки статической вольт-амперной характеристики дуги с устойчивым и неустойчивым горением дуги.



Фиг. 1. Принципиальная схема питания электрической дуги

В случае установившегося режима  $I_{10} = I_{g0} = I_0$ , поэтому

$$U_b = I_0 R + U_g$$

Индекс 0 указывает на то, что величина соответствует установившемуся режиму. При рассмотрении устойчивости горения дуги предполагали колебания настолько медленными, чтобы можно было к мгновенным значениям электрических величин применить законы квазистационарных токов.

Допустим, что в результате флуктуации тока в электрической дуге или по другим причинам установившийся режим нарушен. Обозначим относительную величину малого возмущения тока через  $i$ . Тогда

$$I_g = I_0(1 + i), \quad i \ll 1 \quad (2)$$

Выясним условия, при которых с течением времени величина  $i$  стремится к нулю, т. е. горение дуги возвращается к начальному состоянию. Такой режим работы называется устойчивым.

При изменении силы тока в дуге изменяются  $I_1$ ,  $U_g$  и  $U_b$

$$I_1 = I_{10}(1 + i_1) = I_0(1 + i_1) \quad (3)$$

$$U_g = U_{g0}(1 + u) \quad (4)$$

$$U_b = U_{b0}(1 + \varepsilon) \quad (5)$$

Полное падение потенциала в цепи (фиг. 1) должно равняться электродвижущей силе, действующей в цепи, т. е.

$$U - L \frac{dI_g}{dt} = U_g + I_1 R \quad (6)$$

Применяя второй закон Кирхгофа для цепи  $ABD$  и помня, что

$$CdU_k = (I_1 - I_g) dt \quad (7)$$

получим

$$I_1 = C \left( \frac{dU_g}{dt} + L \frac{d^2I_g}{dt^2} \right) + I_g \quad (8)$$

Здесь  $U_k$  — разность потенциалов на обкладках конденсатора. Подставляя значение  $I_1$  в (6), найдем дифференциальное уравнение

$$CRL \frac{d^2I_g}{dt^2} + L \frac{dI_g}{dt} + RI_g = U_b - U_g - CR \frac{dU_g}{dt} \quad (9)$$

Подставляя в (9) выражения для  $U_g$ ,  $U_b$ ,  $I_1$  и их производных, получим

$$CRL \frac{d^2i}{dt^2} + L \frac{di}{dt} + Ri = \frac{U_b}{I_{g0}} \varepsilon - CR \frac{U_{g0}}{I_{g0}} \frac{du}{dt} - \frac{U_{g0}}{I_{g0}} u \quad (10)$$

Зная внешнюю характеристику источника питания, найдем

$$U_b \varepsilon = \left( \frac{\partial U_b}{\partial I_1} \right)_0 dI_1 = \varphi I_0 i_1 \quad \left( \varphi = \left( \frac{\partial U_b}{\partial I_1} \right)_0 \right) \quad (11)$$

Из уравнения (8) найдем зависимость между  $i_1$  и  $i$

$$i_1 = \frac{1}{I_0} \left[ C \left( U_0 \frac{du}{dt} + I_0 L \frac{d^2i}{dt^2} \right) + I_0 i \right] \quad (12)$$

Вольт-амперная характеристика дуги связывает величины  $u$  и  $i$  соотношением

$$u = R^* \frac{I_{g0}}{U_{g0}} i \left( \frac{\partial U_g}{\partial I_g} \right)_0 = R^* \quad (13)$$

Величина  $R^*$  меньше нуля и называется дифференциальным сопротивлением дуги. Таким образом, имеем

$$\frac{du}{dt} = R^* \frac{I_{g0}}{U_{g0}} \frac{di}{dt} \quad (14)$$

Подставляя полученные выражения  $i$ ,  $u$ ,  $\epsilon$  и  $du/dt$  в уравнение (10), получим

$$\frac{d^2i}{dt^2} CL(R - \varphi) + (L + CRR^* - \varphi CR^*) \frac{di}{dt} + (R + R^* - \varphi) i = 0 \quad (15)$$

Отсюда

$$i = Ae^{r_1 t} + Ae^{r_2 t} \quad (16)$$

где  $r_1$  и  $r_2$  — корни характеристического уравнения, определяемые формулой

$$r = -\frac{1}{2} \frac{L + CRR^* - \varphi CR^*}{CL(R - \varphi)} \pm \left( \frac{1}{4} \left[ \frac{L + CRR^* - \varphi CR^*}{CL(R - \varphi)} \right]^2 - \frac{R + R^* - \varphi}{CL(R - \varphi)} \right)^{1/2} \quad (17)$$

Если подкоренная величина больше нуля, то условием устойчивости горения дуги является отрицательность корней  $r_1$  и  $r_2$ , т. е. выполнение следующих неравенств:

$$\frac{L + CRR^* - \varphi CR^*}{CL(R - \varphi)} > 0, \quad \frac{R + R^* - \varphi}{CL(R - \varphi)} > 0$$

Так как величины  $C$  и  $L$  положительны, эти условия можно представлять так:

$$\frac{L}{R - \varphi} + CR^* > 0, \quad \frac{R^*}{R - \varphi} + 1 > 0$$

Учитывая отрицательность дифференциального сопротивления дуги из первого неравенства следует, что  $(R - \varphi)$  всегда должно быть больше нуля, поэтому можно окончательно условия устойчивости дуги, при сделанных выше допущениях, записать в виде следующих неравенств:

$$L + (R - \varphi) CR^* > 0, \quad R^* + (R - \varphi) > 0 \quad (18)$$

Таким образом, если подкоренная величина в уравнении (17) положительна и выполняются условия (18), то возникающие в цепи от тех или иных причин возмущения затухают апериодически и тем быстрее, чем больше по абсолютной величине значение корней уравнения (17).

В случае, когда подкоренная величина в равенстве (17) меньше нуля, т. е. корни уравнения комплексные, условием устойчивости является отрицательность действительных частей корней  $r_1$  и  $r_2$ , т. е.

$$\frac{L + CRR^* - \varphi CR^*}{CL(R - \varphi)} < 0 \quad (19)$$

Условием отрицательности подкоренного выражения будет неравенство

$$\frac{R + R^* - \varphi}{CL(R - \varphi)} > \frac{1}{4} \left[ \frac{L + CRR^* - \varphi CR^*}{CL(R - \varphi)} \right]^2 > 0 \quad (20)$$

Таким образом, в обоих случаях условиями устойчивости будут неравенства (18). Однако затухание возникающего в цепи возмущения носит колебательный характер.

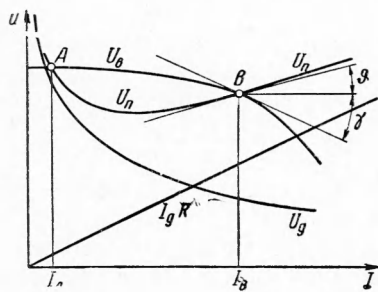
В частном случае, когда  $\varphi = 0$ , т. е.  $U_b = \text{const}$ , приходим к известным неравенствам [1,2] и др.

$$R + R^* > 0, \quad L + CRR^* > 0 \quad (21)$$

Условие (18) показывает, что при данных емкости и индуктивности цепи устойчивость дуги зависит от внешнего сопротивления  $R$  и внешней характеристики источника питания  $\varphi$ . Построим зависимость потребного напряжения:

$$U_n = RI_g + U_g \quad (22)$$

При  $R$ , не зависящим от  $I$ , тангенс угла наклона  $\varphi$  касательной к кривой  $U_n = U_n(I)$  представляет собой величину  $R + R^*$  (фиг. 2), а  $\varphi = \operatorname{tg} \gamma$  представляет собой тангенс угла наклона касательной к внешней характеристике источника. Тогда условие (19) можно переписать в виде



Фиг. 2. Зависимость  $U_g$  и  $U_n$  от силы тока

$$\operatorname{arc} \operatorname{tg} (R^* + R) > \gamma \quad (23)$$

В точке  $B$  угол  $\operatorname{arc} \operatorname{tg} (R^* + R)$  положительный, угол  $\gamma$  — отрицательный (угол отсчитывается от оси  $I_g$  в сторону положительного направления касательной).

Следовательно, в точке  $B$  условие (23) выполняется, дуга будет устойчивой. Действительно, предположим, что сила тока случайно отклонилась от  $I_B$  в сторону увеличения. Напряжение источника становится меньше потребного напряжения, источник оказывается не в состоянии поддерживать силу

тока большую, чем  $I_B$ . Сила тока начинает уменьшаться до  $I_B$ . Если сила тока случайно уменьшилась, возникает избыточное напряжение, т. е.  $U_B > U_n$ , и сила тока снова возрастает до значения  $I_B$ . Таким образом, дуга в режиме  $B$  при любых малых отклонениях  $I$  устойчива.

В точке  $A$  условие (23) не выполняется, и если сила тока стала больше  $I_A$ , то напряжение источника становится больше потребного напряжения, и сила тока продолжает увеличиваться. При уменьшении силы тока напряжение источника становится меньше потребного напряжения, и сила тока продолжает быстро уменьшаться до полного гашения дуги. Таким образом, при любых отклонениях силы тока в режиме  $A$  дуга в начальное состояние не возвращается, т. е. является неустойчивой.

При увеличении  $R$  точки  $A$  и  $B$ , перемещаясь по кривой  $U_b$ , сближаются. Поэтому, изменяя внешнее сопротивление, можно регулировать силу тока  $I$ .  $R$  можно увеличить так, чтобы точки  $A$  и  $B$  совпали. В этом случае уравнение (1) имеет только один корень  $I_{\min}$ . При данных параметрах цепи  $L$ ,  $C$ ,  $R^*$ ,  $\varphi$  и  $\partial R / \partial I = 0$  горение дуги на токах меньших, чем  $I_{\min}$ , невозможно.

Если неустойчивость дуги наступает из-за нарушения второго условия (18), при перемещении вдоль кривой статической вольт-амперной характеристики из зоны устойчивого горения дуги к границе величины

$$\operatorname{arc} \operatorname{tg} (R^* + R) \rightarrow \gamma$$

В этом случае подкоренная величина в равенстве (17), начиная с некоторого значения  $(R^* + R - \varphi)$ , будет положительным и возникающие возмущения затухают по апериодическому закону.

Меняя условие в газовом промежутке и внешнее сопротивление, можно получить верхнюю границу области устойчивого горения дуги для данного источника питания.

Для расширения верхней границы области устойчивого горения в направлении увеличения  $U_g$  необходимы источники с более высоким выходным напряжением.

Условие (18) показывает, что дуга может работать устойчиво и без внешнего сопротивления, но для этого необходимо иметь источник питания с крутопадающей внешней характеристикой, при котором  $R^* > \varphi$ .

**Некоторые результаты экспериментальных исследований.** Экспериментальные исследования горения электрической дуги в плазмотроне проводились на модели, схема которой приведена на фиг. 3. Катод имел форму стакана, а анод — толстостенной трубки. Материалом электродов служила

меди. Для предохранения стенок электродов от термического разрушения последние интенсивно охлаждались. Надежное охлаждение электродов при небольших гидравлических потеряхказалось возможным осуществить, выбрав схему водяного вихревого охлаждения. В этом случае охлаждающая жидкость через специальный насадок подается параллельно касательной к наружной поверхности цилиндра. Применение вихревого водяного охлаждения позволило отказаться от оребрения поверхности и значительно упростило конструкцию. В исследованной конструкции для успешного охлаждения достаточно было иметь избыточное давление воды на входе в рубашку охлаждения не более  $1 \text{ кг} / \text{cm}^2$ . Опыт показал, что закрутка воды сохранялась на всем протяжении канала. Воздух в камеру горения дуги подавался через отверстия, тенденциально расположенные на периферии камеры закручивания, выполненной из оргстекла и являющейся одновременно и электрическим изолятором, отделяющим анод от катода.

При стационарной работе большая часть положительного столба дуги располагается вдоль оси цилиндрической камеры горения, что связано с существованием вихревого движения газа, строго определяющего положение дуги в зоне наименьшей плотности в центре вихря. Концы дуги искривлены и опираются на внутреннюю цилиндрическую поверхность электродов (фиг. 3).

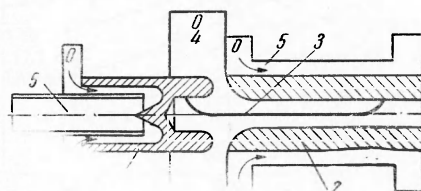
Наличие вихревого движения газа в камере не только стабилизирует положение дуги в пространстве, но и обеспечивает непрерывное перемещение опорных точек дуги с достаточно большими скоростями, что в сочетании с водяным охлаждением электродов предотвращает последние от чрезмерного нагревания, а следовательно, и от интенсивного теплового разрушения и предотвращает загрязнение рабочей среды. Заметим, что если вихревое движение внутри полости анода существует всегда, то внутри полости катода оно существует только при определенных соотношениях между внутренними диаметрами катода и анода, когда такое движение может индуцироваться наиболее сильно. Качественные экспериментальные исследования позволяют найти это соотношение, равное примерно единице. Можно считать, что дуга по характеру процесса на катоде является дугой с относительно холодным катодом, а следовательно, выход электронов с поверхности обусловлен в основном автоэлектронной эмиссией. Потеря мощности на электродах определялась посредством замера изменений температуры охлаждающей воды.

При проведении экспериментов одновременно измерялись:

1. Расход охлаждающей воды и расход воздуха — ротаметрами РС-5.
2. Температура воды — хромель-капелевыми термопарами с подачей сигнала на электронный потенциометр.
3. Ток дуги и падение напряжения на ней — соответственно амперметром и вольтметром типа Н-375, класс 1,5.

Опыты проводились при давлении воздуха в камере горения дуги, близком к атмосферному. По измеренным величинам строились вольт-амперные характеристики, определялась температура струи газа и к. п. д. плазмотрона.

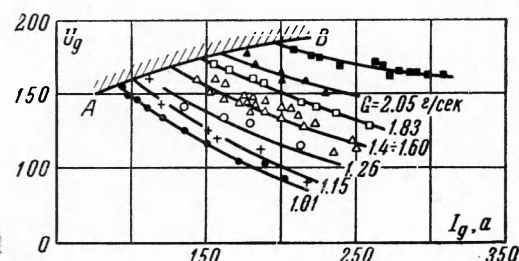
На фиг. 4 приведено семейство статических вольт-амперных характеристик электрической дуги, стабилизированной воздушным вихрем. Каждая кривая соответствует определенному значению расхода воздуха через плазматорон. Падение напряжения тем больше, чем больше расход газа через камеру горения. Кривая АВ — граница устойчивого горения.



Фиг. 3. Схема плазматрона. 1 — катод, 2 — анод, 3 — электрическая дуга, 4 — вихревая камера, 5 — вода

Получить экспериментальные точки вольт-амперной характеристики при токах меньших, чем это приведено на фигуре для  $G = \text{const}$ , не удавалось из-за погасания дуги.

Электрическая дуга питалась от генератора постоянного тока. Для данного источника можно принять значение  $\varphi = 0$  ( $U_{bo} = 220 - 230$  в).



Фиг. 4. Семейство статических вольт-амперных характеристик дуги

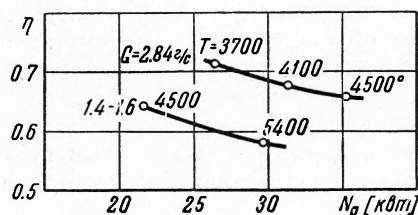
Характеристика должна быть характеристика дуги при  $G = 0$  и постоянном межэлектродном промежутке. Если этот промежуток небольшой, то это есть вольт-амперная характеристика сварочной дуги.

При выбранном источнике питания и заданном межэлектродном промежутке дуга может гореть устойчиво только внутри области (фиг. 5), ограниченной:

- 1) сверху — кривой  $AB$ , проходящей через точки, разделяющие вольт-амперную характеристику на зоны устойчивого и неустойчивого горения дуги;
- 2) справа — кривой  $BC$ , соответствующей максимально допустимому току нагрузки через источник электроэнергии;
- 3) снизу — кривой  $AC$ .

Расширение области устойчивого горения возможно в том случае, если выбрать источник питания с большим напряжением холостого хода или допускающий большие токи.

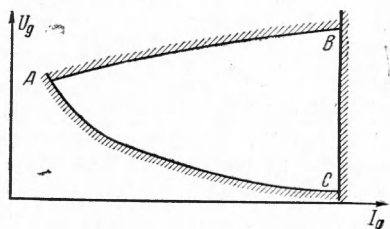
Таким образом, для наиболее эффективного использования мощности источника питания желательно, чтобы дуга в плазматроне с балластным сопротивлением в цепи работала на режимах, близких к  $I_{\max}$ , а геометрия проточной части камеры горения дуги (при заданном расходе газа) должна быть выбрана такой, чтобы вольт-амперная характеристика располагалась в верхней части области устойчивого горения дуги. Вторым путем повышения эффективности является использование источников питания с круто падающей характеристикой.



Фиг. 6. Тепловой к. п. д. плазматрона в зависимости от мощности дуги

В процессе эксперимента определялись также тепловые к. п. д. установки и температура торможения струи.

Тепловым к. п. д. плазматрона названо отношение мощности, пошедшей на непосредственный нагрев воздуха, к мощности, вложенной в электрическую дугу. На фиг. 6 на основании экспериментального материала приведена зависимость  $\eta$  от подведенной к дуге мощности  $N_g$  в некотором диапазоне расхода воздуха. При относительно небольших температурах



Фиг. 5. Границы области устойчивого горения дуги

газа (от 3700 до 4500° К) к. п. д. изменяется от 70 до 65 %. С повышением температуры газа к. п. д. снижается, и при 5400° К будет равен  $\eta = 58 \%$ .

На фиг. 7 приведена зависимость температуры торможения нагретого в плазматроне воздуха  $T_0$  от  $\Delta N = N_g - N_k$  для двух значений  $G = 2.84$  (кривая 1) и  $3.15 \text{ г/сек}$  (кривая 2);  $N_k$  — мощность, отводимая при охлаждении катода. Температура торможения воздуха  $T_0$  вычислялась по полному теплосодержанию воздуха. Из баланса тепла, предполагая режим работы электродугового подогревателя стационарным, определялось количество тепла  $Q$ , подведенное к газу. Определение температуры струи проводилось не только методом баланса энергии, но и при помощи спектрального метода. Сопоставление результатов измерений показало вполне удовлетворительное совпадение. Предположение о стационарности режима близко к истине, так как замеры температур производились после выдержки постоянного режима по электрическим и газовым параметрам в течение 2—3 минут. Контроль за температурой охлаждающей воды также подтверждает это предположение.

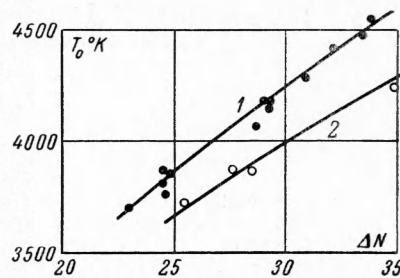
Таким образом, на основании проведенных исследований удалось установить границы области устойчивого горения электрической дуги в описанном плазматроне. Для расширения этой области необходимы источники питания более высокого напряжения. Проведенные эксперименты показали удовлетворительное соответствие между экспериментом и теорией.

В исследуемой установке с воздушной стабилизацией дуги удалось достичь температуры газовой струи до 6000° К; при этом тепловой к. п. д. плазматрона был около 50 %. Использование вихревого охлаждения и закрученного потока газа в исследованной конструкции позволило значительно снизить расход материала электродов. Загрязненность струи газа продуктами разрушения электродов была менее 1 %.

Поступила 4 IX 1961

#### ЛИТЕРАТУРА

- Грановский В. П. Электрический ток в газе. ГИТЛ, 1952.
- Капцов Н. А. Электрические явления в газах и вакууме. ГИТЛ, 1960.



Фиг. 7. Зависимость температуры торможения плазмы от  $(N_g - N_k)$